

Wydział Elektroniki i Technik Informacyjnych
Politechnika Warszawska

Systemy mikroprocesorowe w sterowaniu

Sprawozdanie z projektu nr 1

Mateusz Dziwulski, Jakub Szczepański

Warszawa, 2017

Spis treści

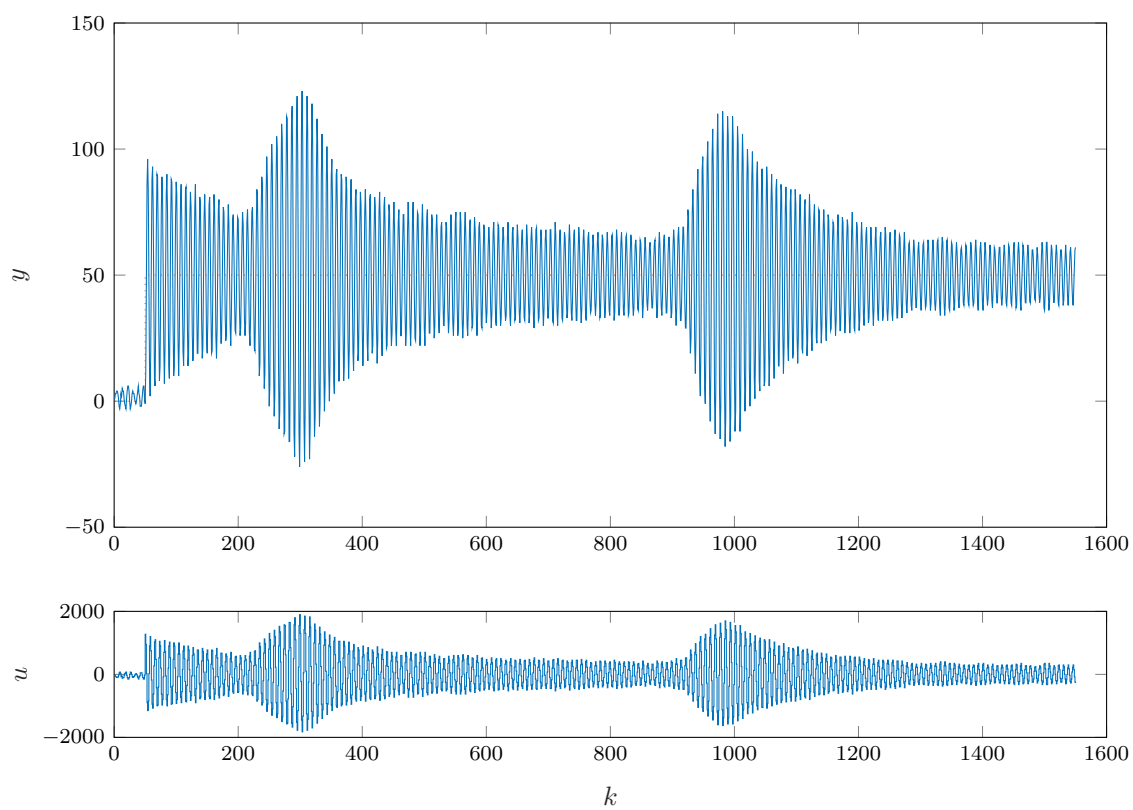
1. Wstęp	2
2. Algorytm PID	3
3. Algorytm DMC	10
4. Porównanie najlepszych realizacji	17

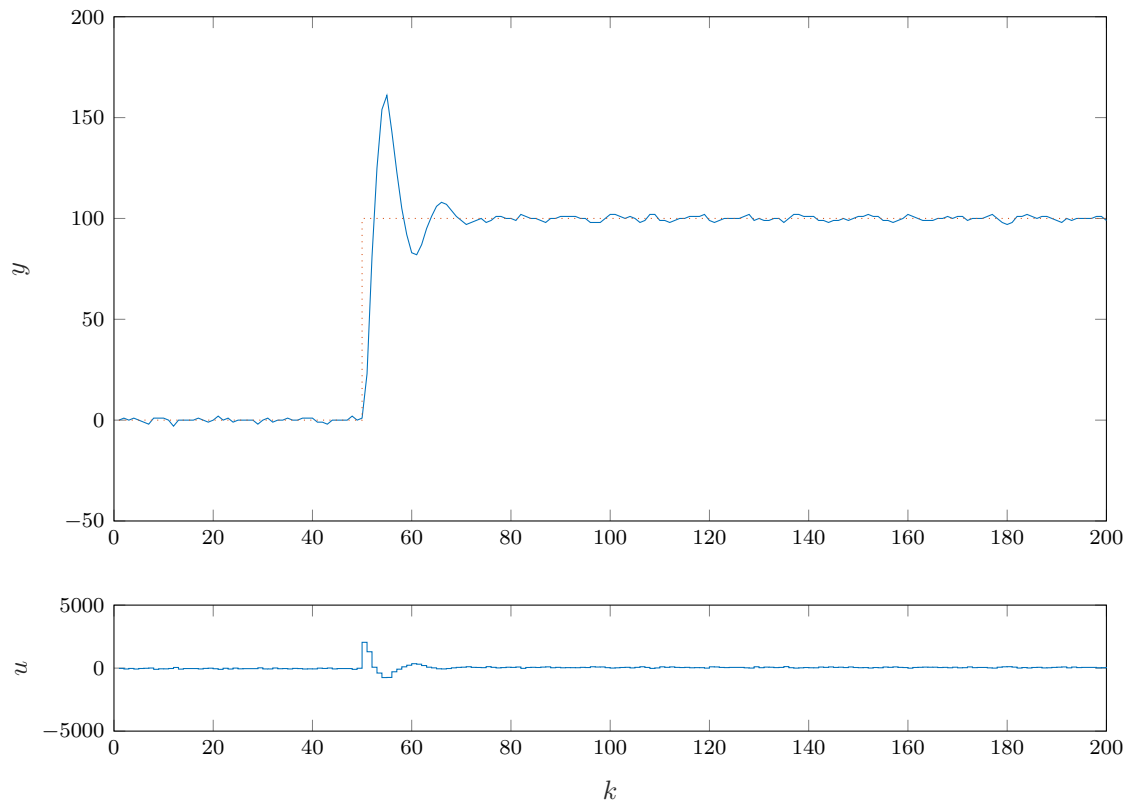
1. Wstęp

Dla prostoty i przejrzystości sprawozdania wykorzystane zostały oznaczenia pierwotnie wprowadzone w skrypcie z aktualnego laboratorium.

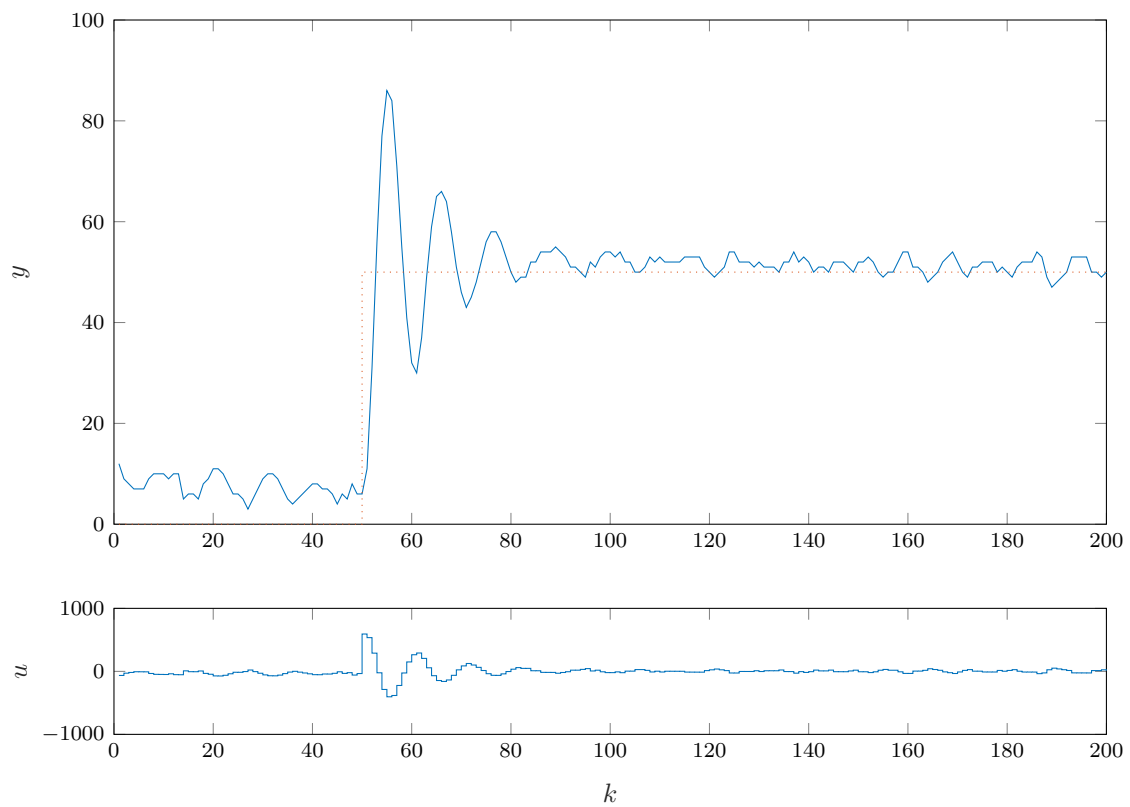
2. Algorytm PID

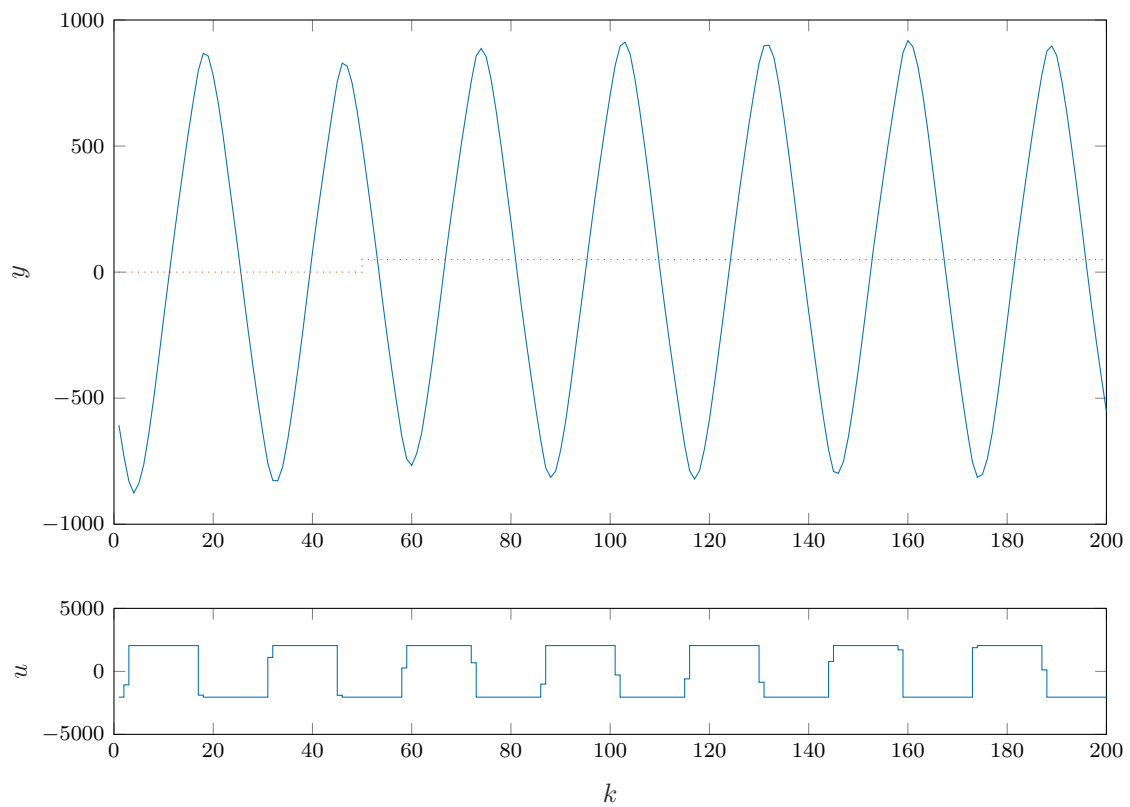
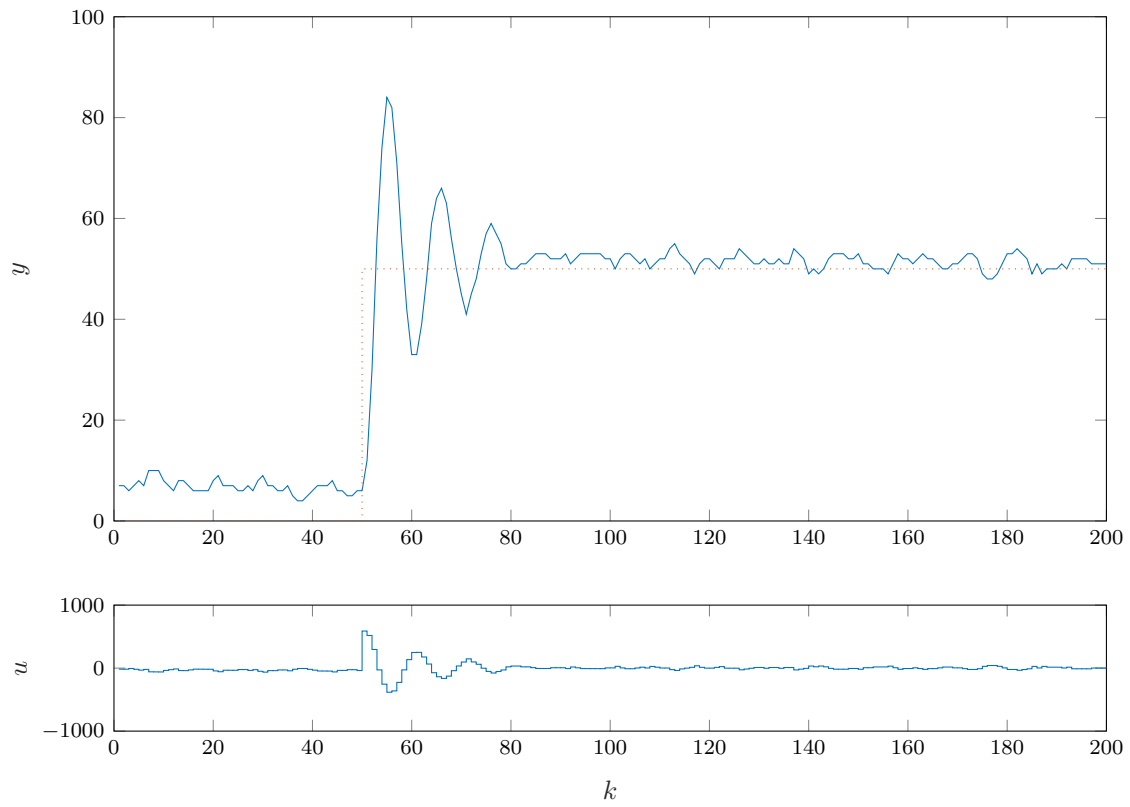
Napisać coś o różnicy w taktowaniu.

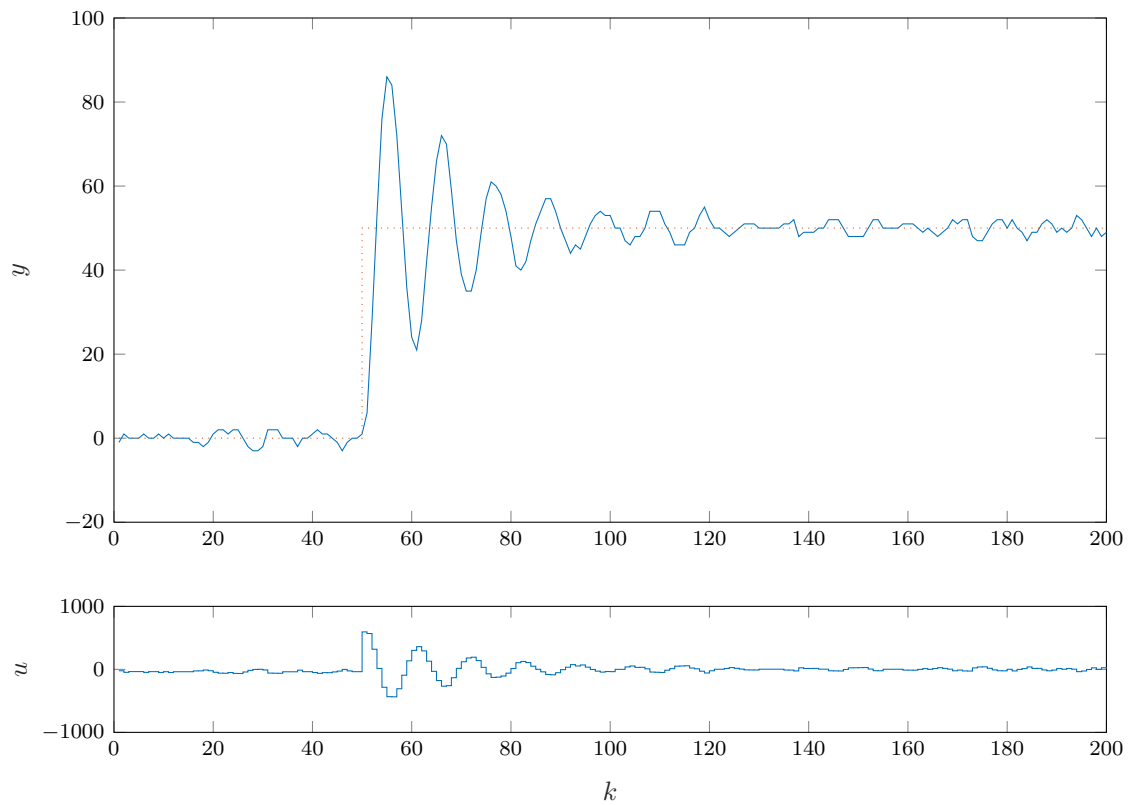
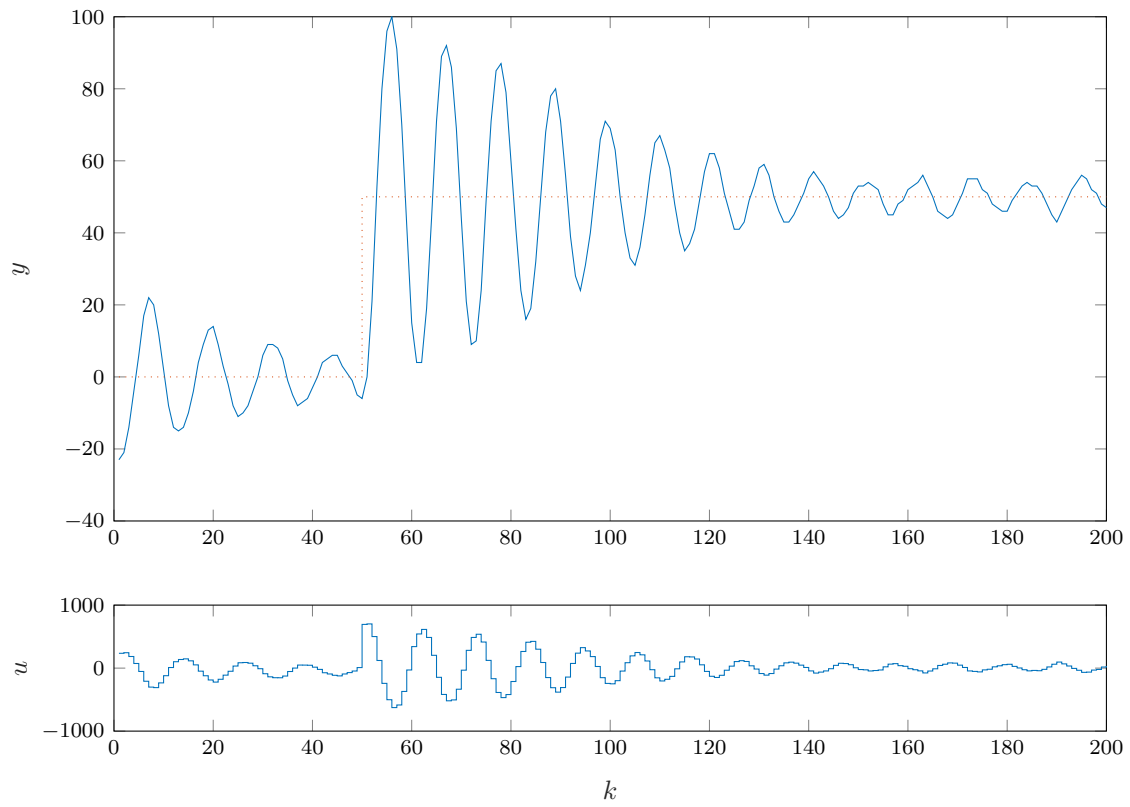


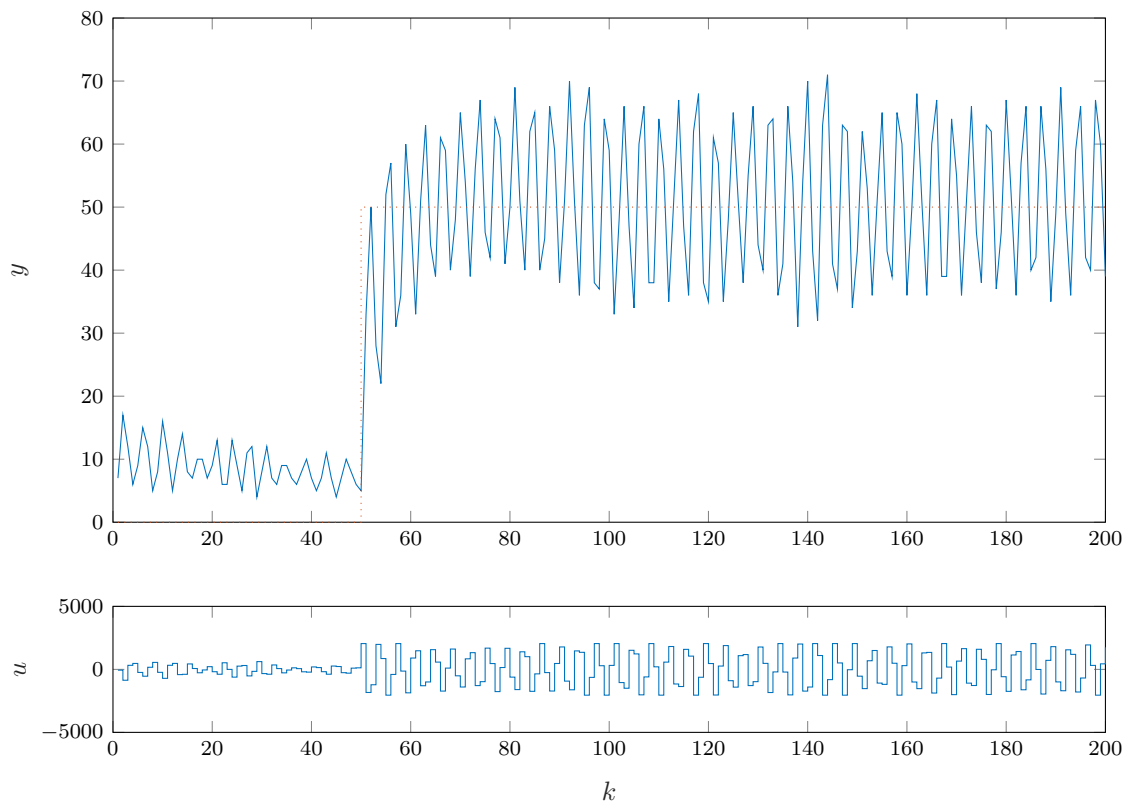
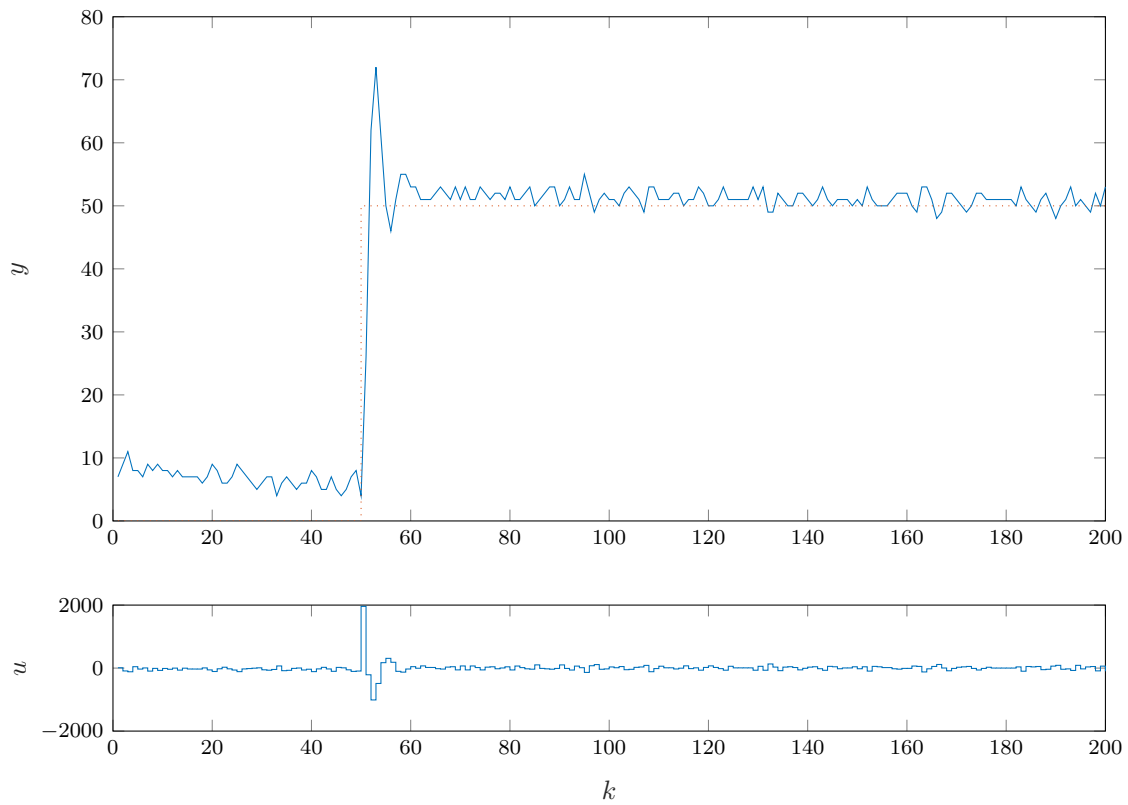


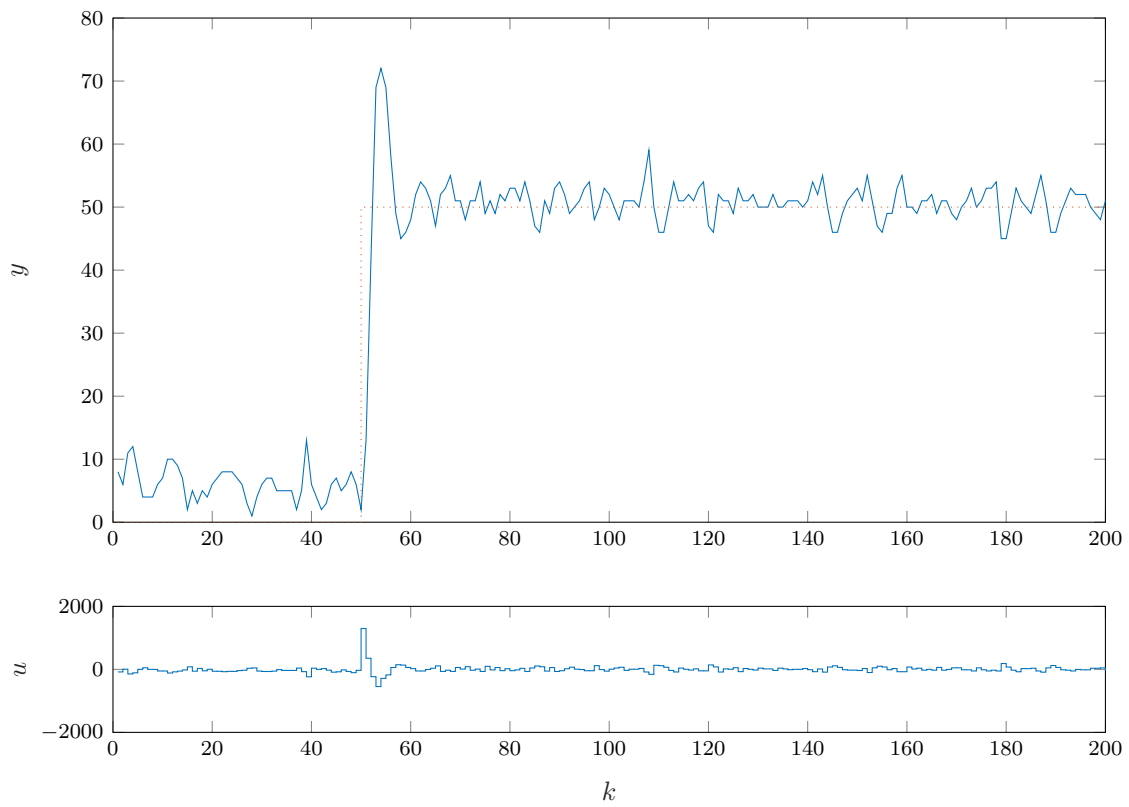
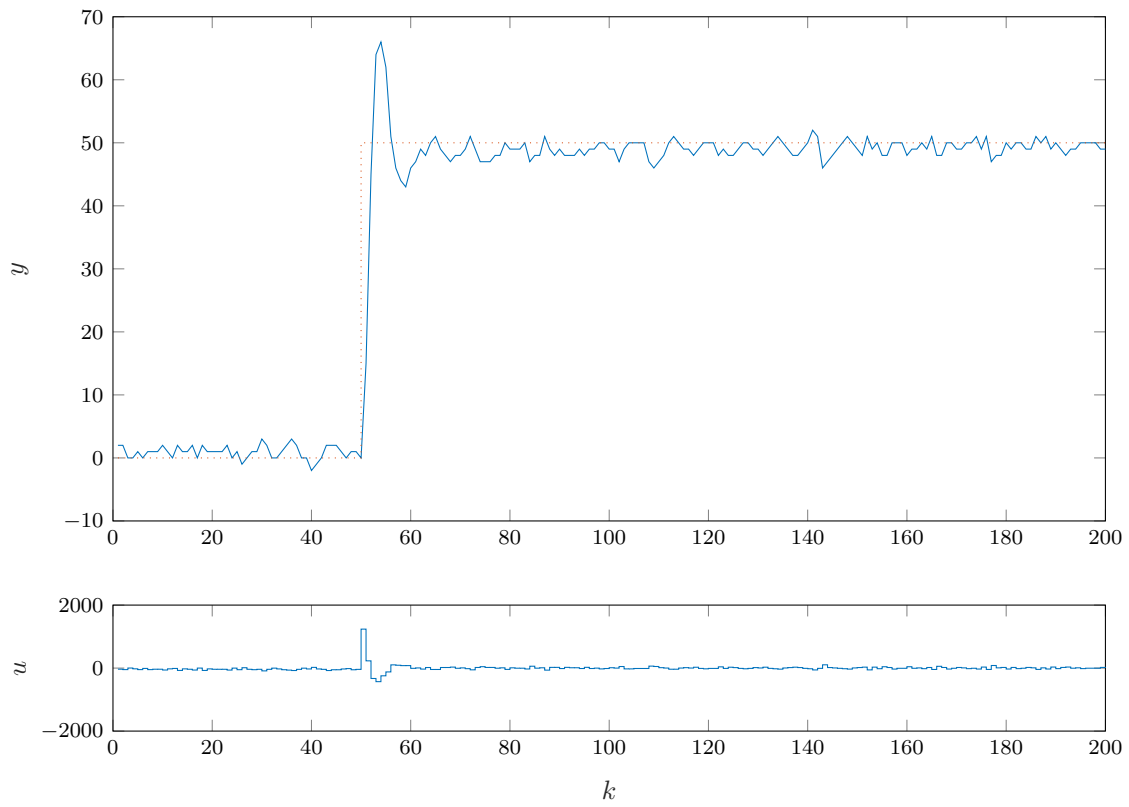
Tu wspomnieć, że P to osc kryt.

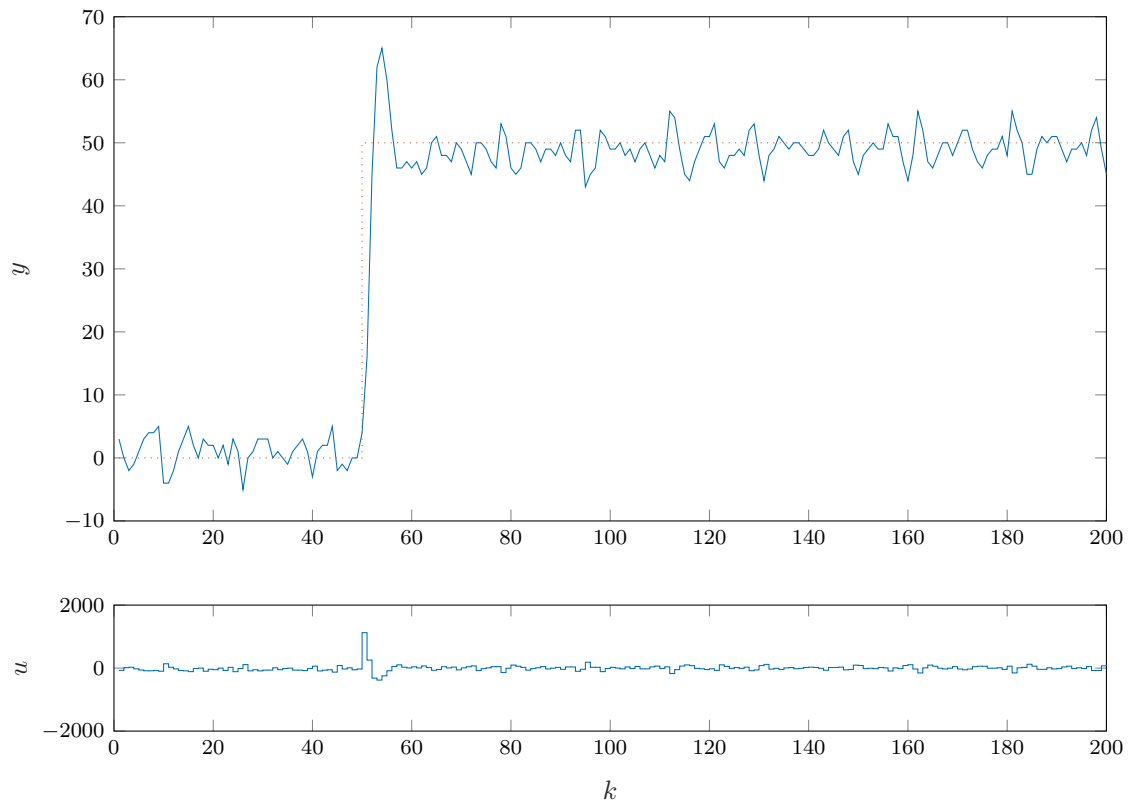








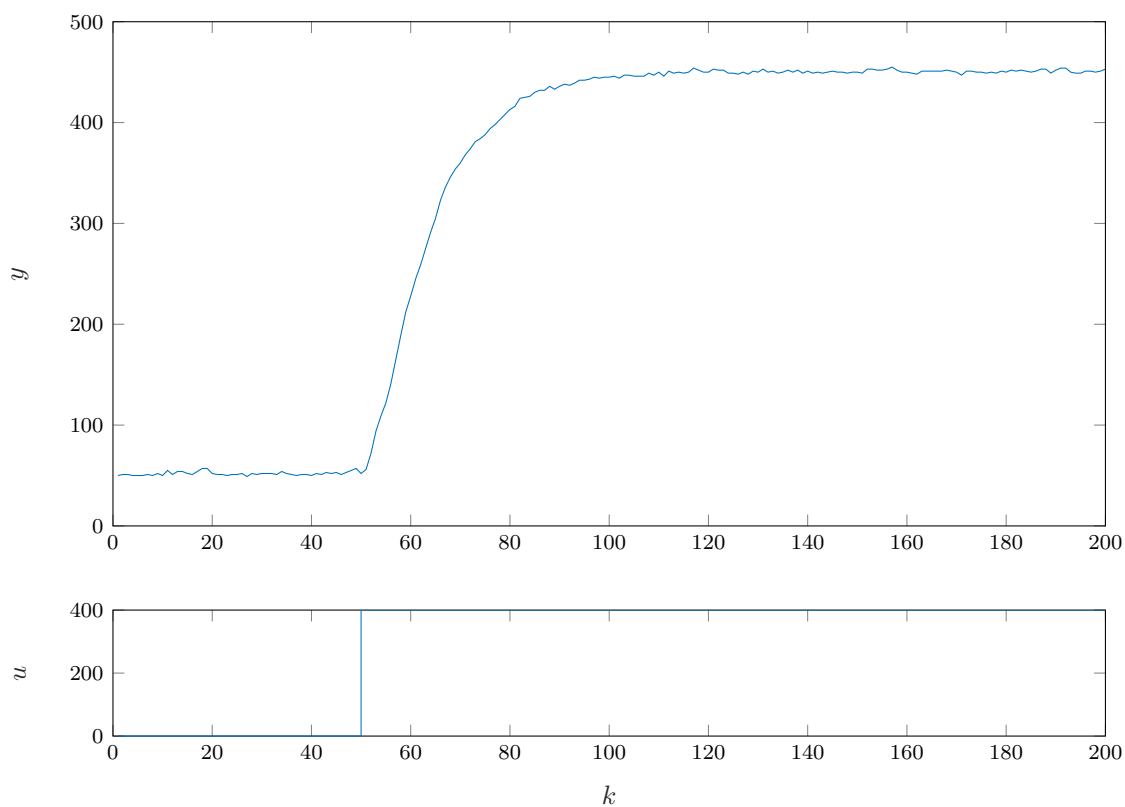




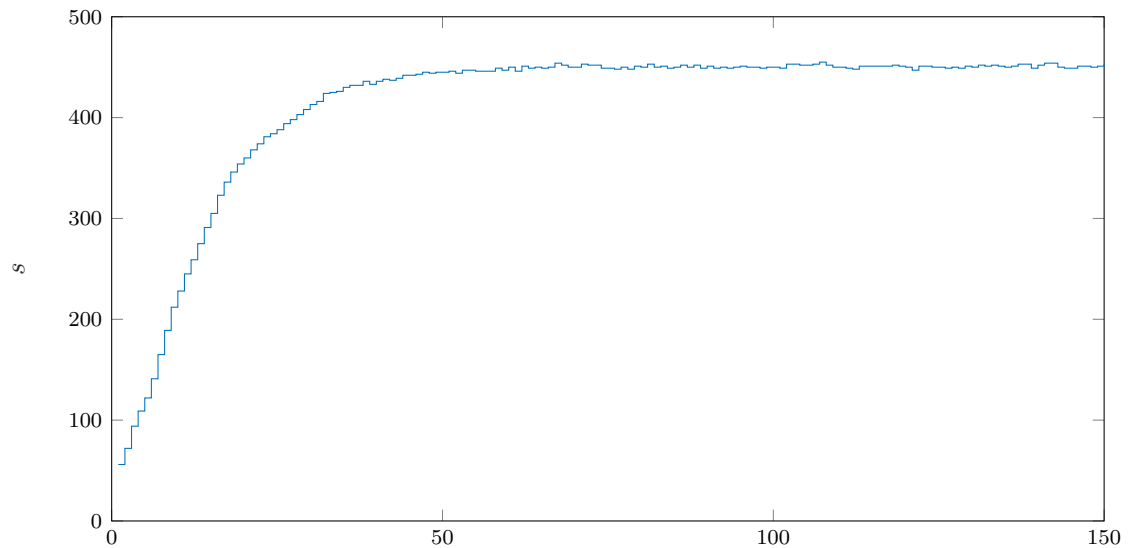
3. Algorytm DMC

Do implementacji cyfrowego algorytmu DMC na mikronoktrollerze oprócz plików źródłowych zastosowano skrypt z MATLABa wykonujący niezbędne przekształcenia uzyskanej odpowiedzi skokowej i zadanych parametrów na użyteczne wartości.

Odpowiedź skokową uzyskano poprzez zmierzenie odpowiedzi układu na skok sygnału wejściowego o 400, jak pokazano na rysunku 3.1. Obciążona odpowiedź, stosowana w samych obliczeniach (przed normalizacją do skoku jednostkowego z punktu pracy), została przedstawiona na rysunku 3.2.



Rys. 3.1: Odpowiedź skokowa układu



Rys. 3.2: Obciążona odpowiedź skokowa układu

Skrypt, którego użyto do wyliczenia macierzy DMC zawarto w pliku `params.m`:

```
Ypp = 50;
dU = 400;
D = ?; %parametry - zmieniane w kolejnych probach
N = ?;
Nu = ?;
lambda = ?;

load step.mat %zaladowanie pliku z odpowiedzia skokowa
s = (s - Ypp)/dU;

M=zeros(N,Nu);
for i=1:N
    for j=1:Nu
        if (i>=j)
            M(i,j)=s(i-j+1);
        end;
    end;
end;

Mp=zeros(N,D-1);
for i=1:N
    for j=1:D-1
        if i+j<=D
            Mp(i,j)=s(i+j)-s(j);
        else
            Mp(i,j)=s(D)-s(j);
        end;
    end;
end;

K=((M'*M+lambda*eye(Nu))^-1)*M';
```

```
Ku=K(1,:)*Mp;
Ke=sum(K(1,:));

%wypisanie odpowiednio sformatowanego przypisania w C
fprintf(strcat(' static float Ke = ',sprintf('%.4f',Ke),';\n',...
' static float Ku[] = {',sprintf('%.4f,',Ku),'\b};\n'));

```

Kod realizujący główną pętlę regulatora DMC zawarty w pliku `main.c` przedstawia się następująco:

```
void HAL_TIM_PeriodElapsedCallback(TIM_HandleTypeDef *htim){
    if(htim->Instance == TIM2){
        static float y = 0.0f;
        static float u = 0.0f, u_ = 0.0f; //u_ = u(k-1), u = u(k)

        static float yzad = 0.0f;
        static int iter = 0;
        if(++iter > 150) {
            //yzad = rand() % 4096 - 2048;
            yzad = 200 - yzad; //naprzemienne skoki między 0 i zadana
            iter = 0;        //wartoscia
        }

        y = (input - 2048.0f); // przejście z 0 - 4095 do -2048 - 2047

        //inicjalizacja
        static const int D = 50;
        static float e = 0, dup[D-1], du = 0;
        static int it = 0;

        //Parametry uzyskane z matlaba
        static float Ke = ??;
        static float Ku[] = ??;

        e = yzad - y;

        du = Ke * e;

        //reczne odjęcie iloczynu wektorow Ku i dUp
        for(it = 0; it < D-1; it++)
            du -= Ku[it] * dup[it];

        //przesunięcie wektora dUp
        for(it = D-2; it >= 1; it--)
            dup[it] = dup[it - 1];
        dup[0] = du;

        //wyznaczenie nowego sterowania
        u = u_ + du;
    }
}

```

```

    u_ = u;

    if(u > 2047.0f) u = 2047.0f; %limity
    if(u < -2048.0f) u = -2048.0f;

    output = u+2048.0f; // przejście z -2048 - 2047 do 0 - 4095

    updateControlSignalValue(output);

    while(HAL_UART_GetState(&huart) == HAL_UART_STATE_BUSY_TX);
    sprintf(text, "U=%+8.2f;Y=%+8.2f;Yzad=%+8.2f;", u, y, yzad); // 36 znaków
    if(HAL_UART_Transmit_IT(&huart, (uint8_t*)text, 36) != HAL_OK){
        Error_Handler();
    }
}
}

```

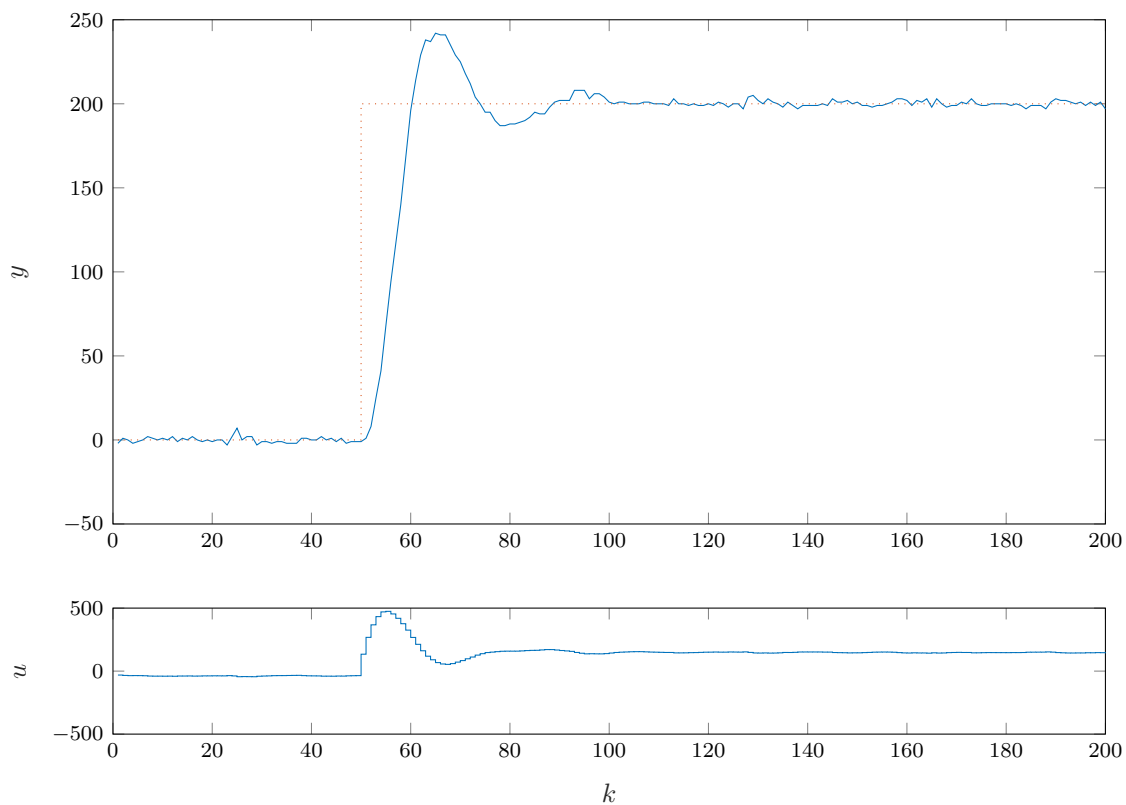
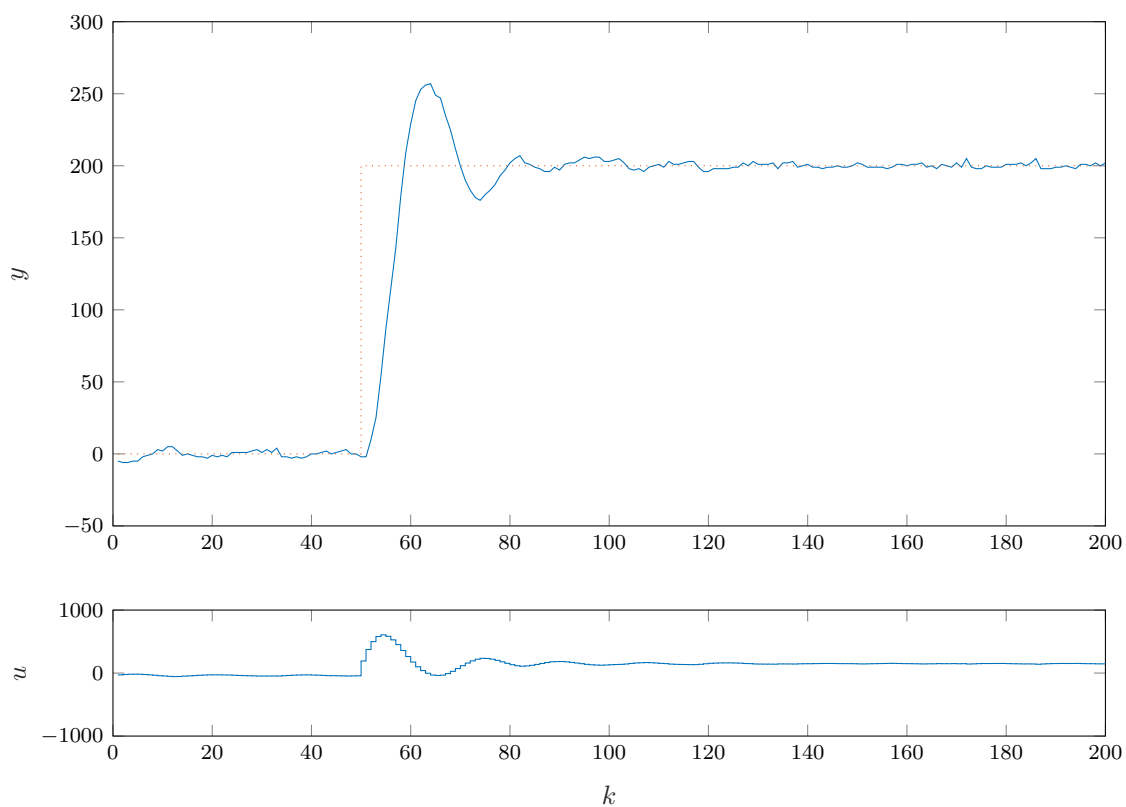
Testy konkretnych parametrów regulatora przeprowadzano z większym skokiem wartości zadanej niż w przypadku PID - pozwoliło to na lepsze zobaczenie i ocenienie różnic między konkretnymi iteracjami. Na wykresach od 3.3 do 3.8 można zobaczyć kolejne przebiegi.

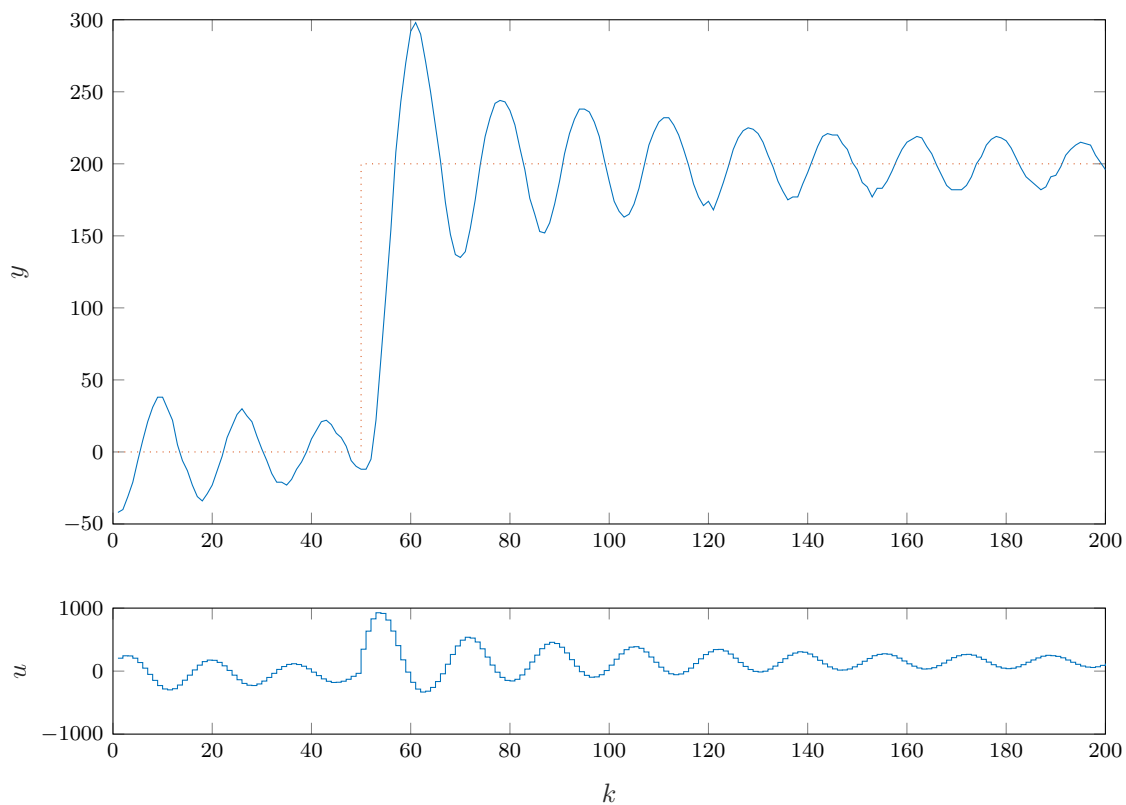
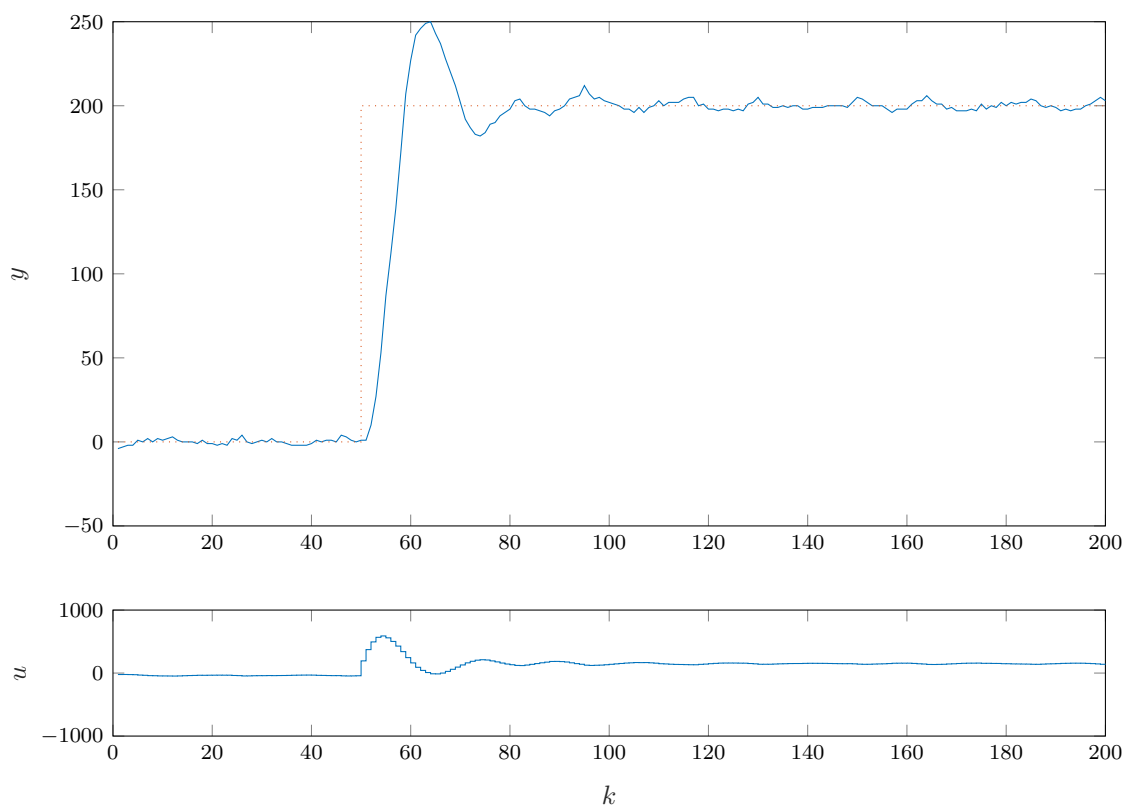
Zgodnie z kolejnością podpunktów w skrypcie do laboratorium, najpierw dobierano jeden parametr, a następnie dla najlepszej jego wartości wybierano następny. Ich kolejność λ , następnie N_u , a na końcu N . Parametr D dobrano na podstawie stabilizacji odpowiedzi skokowej.

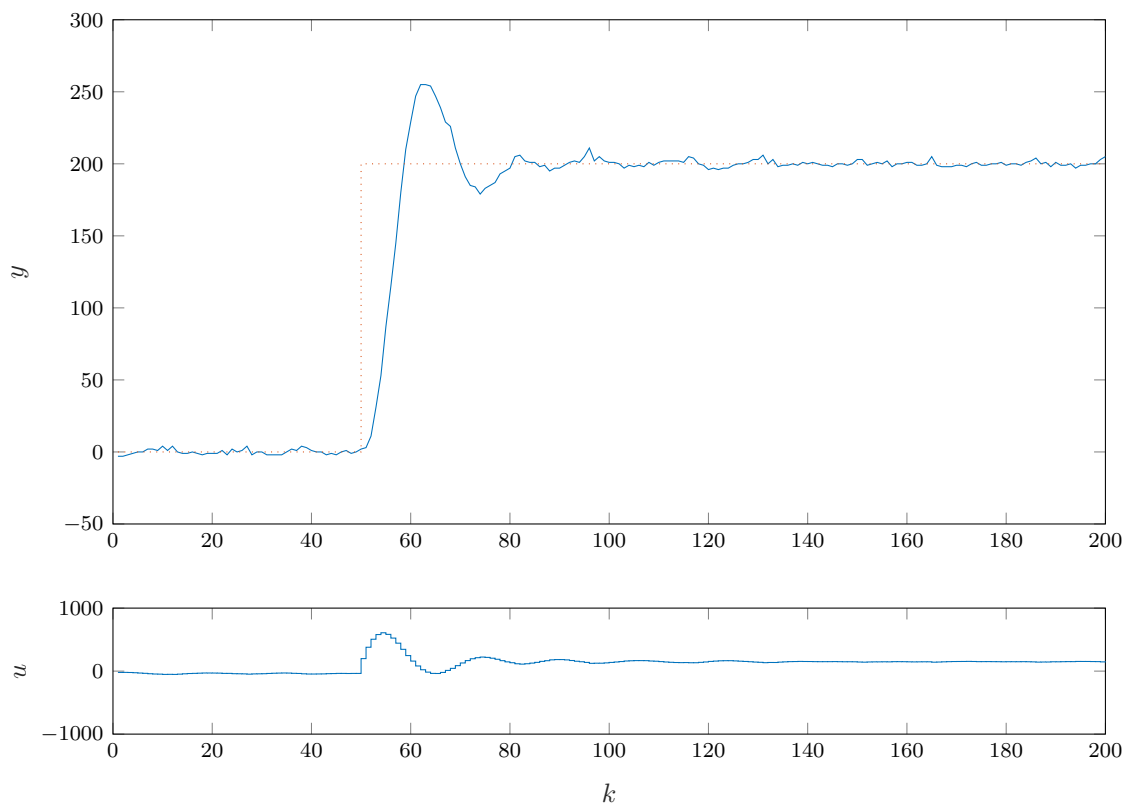
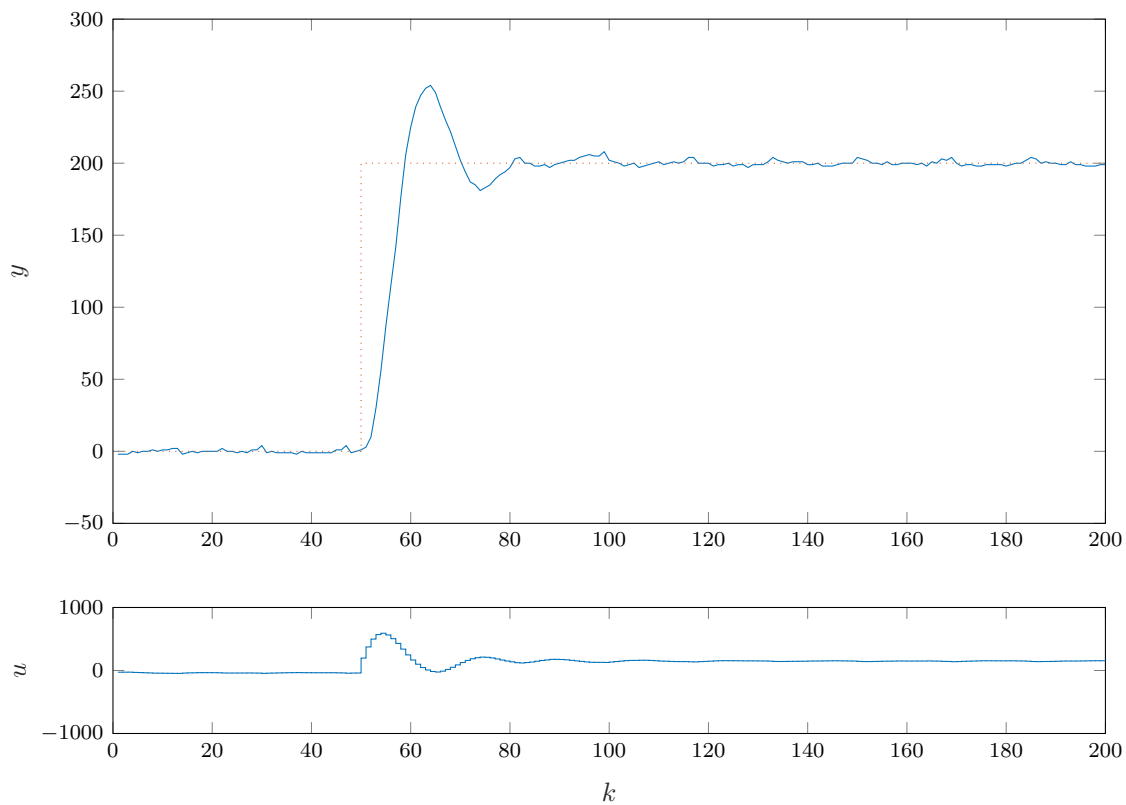
Zwiększenie λ skutkowało wygładzeniem przejścia między wartościami przed i po skokiem. Zmniejszenie jej powodowało przyspieszenie tego przejścia - aż do pewnej wartości minimalnej, po której przy której pojawiały się oscylacje. Końcowa wartość to 0,5.

Zmiana wartości horyzontu sterowania skutkowała bardzo niewielkimi zmianami. Zdecydowano się na wartość niższą niż początkowa, jako skutkująca nieznacznie mniejszym przeregulowaniem.

Zmiana wartości horyzontu predykcji również skutkowała prawie niewidocznymi zmianami - zmniejszenie jego wartości skutkowało względnym wygładzeniem przebiegu, ale też nieznacznie zwiększała przeregulowanie. Do testów porównawczych z PID wybrano regulator z rysunku 3.6, o wartości $N = D = 50$.

Rys. 3.3: $D = 50$, $N = 50$, $Nu = 50$, $\lambda = 1$ Rys. 3.4: $D = 50$, $N = 50$, $Nu = 50$, $\lambda = 0,5$

Rys. 3.5: $D = 50$, $N = 50$, $Nu = 50$, $\lambda = 0,2$ - oscylacjeRys. 3.6: $D = 50$, $N = 50$, $Nu = 10$, $\lambda = 0,5$ - najlepszy z uzyskanych regulatorów

Rys. 3.7: $D = 50$, $N = 20$, $Nu = 10$, $\lambda = 0,5$ Rys. 3.8: $D = 50$, $N = 30$, $Nu = 10$, $\lambda = 0,5$

4. Porównanie najlepszych realizacji

